

12. Хайруллин Р. З. Оптимизация процессов эксплуатации и обновления парка измерительной техники / Р. З. Хайруллин // Измерительная техника. – 2022. – № 8. – С. 28–34.
13. Хайруллин Р. З. Диффузионная модель дрейфа метрологических характеристик измерительной техники / Р. З. Хайруллин // Научно-технический вестник Поволжья. – 2022. – № 12. – С. 79–82.
14. Азарсков В. Н. Надежность систем управления и автоматики / В. Н. Азарсков, В. П. Стрельников. – Киев : НАУ, 2004. – 64 с.
16. Казаков В. А. Введение в теорию марковских процессов и некоторые задачи радиотехники / В. А. Казаков. – Москва : Советское радио, 1973. – 232 с.
17. Колмогоров А. Н. Аналитические методы теории вероятностей / А. Н. Колмогоров // Успехи математических наук. – 1938. – Вып. V. – С. 5–41.
18. Араманович И. Г. Уравнения математической физики / И. Г. Араманович, В. И. Левин. – Москва : Наука, 1969. – 288 с.

© Р. З. Хайруллин

Ссылка для цитирования:

Хайруллин Р. З. К построению функции плотности распределения вероятности безотказной работы контрольно-измерительных приборов // Инженерно-строительный вестник Прикаспия : научно-технический журнал / Астраханский государственный архитектурно-строительный университет. Астрахань : ГАОУ АО ВО «АГАСУ», 2023. № 2 (44). С. 128–133.

УДК 539.3+004.021+004.94

DOI 10.52684/2312-3702-2023-44-2-133-140

**АЛГОРИТМ БЫСТРОГО ЧИСЛЕННОГО ИНТЕГРИРОВАНИЯ
В ЗАДАЧАХ УСТОЙЧИВОСТИ ОБОЛОЧЕЧНЫХ КОНСТРУКЦИЙ**

В. Ю. Шаранин, А. А. Семенов

Шаранин Виталий Юрьевич, аспирант, Санкт-Петербургский государственный архитектурно-строительный университет, г. Санкт-Петербург, Российская Федерация, тел.: +7 (812) 575-05-49; email: vitas930831@mail.ru;

Семенов Алексей Александрович, кандидат технических наук, доцент, заведующий кафедрой информационных технологий, Санкт-Петербургский государственный архитектурно-строительный университет, г. Санкт-Петербург, Российская Федерация, тел.: +7 (812) 575-05-49; email: sw.semenov@gmail.com

В работе предложен алгоритм реализации численного интегрирования в задачах расчета тонкостенных оболочечных конструкций. В основе исследования используется геометрически нелинейная математическая модель типа Тимошенко – Рейснера, учитывающая ортотропию материала, поперечные сдвиги и возможность расчета конструкций разных форм (пологих оболочек двоякой кривизны, цилиндрических и конических панелей и др.). Модель записана в форме функционала полной потенциальной энергии деформации оболочки. К модели применяется метод Ритца для сведения вариационной задачи о минимуме функционала к решению системы нелинейных алгебраических уравнений. В процессе формирования системы возникает необходимость вычисления большого количества интегралов. Предлагается, выделив среди них повторяющиеся, записывать значения в базу данных, что позволяет достигнуть высокой производительности по сравнению с обычным вариантом расчета. Программная реализация выполнена на языке Python. Приведены примеры исследования полой оболочки двоякой кривизны на устойчивость.

Ключевые слова: оболочки, устойчивость, алгоритм, интегрирование, Python, хэш, быстроедействие, нелинейная задача.

**ALGORITHM FOR FAST NUMERICAL INTEGRATION
IN PROBLEMS OF BUCKLING OF SHELL STRUCTURES**

V. Yu. Sharanin, A. A. Semenov

Sharanin Vitaliy Yuryevich, postgraduate student, St. Petersburg State University of Architecture and Civil Engineering, St. Petersburg, Russian Federation, phone: +7 (812) 575-05-49; email: vitas930831@mail.ru;

Semenov Aleksey Aleksandrovich, PhD in Tech. Sci., Associate Professor, Head of Department of Computer Science, St. Petersburg State University of Architecture and Civil Engineering, St. Petersburg, Russian Federation, tel.: +7 (812) 575-05-49; email: sw.semenov@gmail.com

The paper proposes an algorithm for the implementation of numerical integration in the problems of calculating thin-walled shell structures. The study is based on a geometrically nonlinear mathematical model of the Timoshenko-Reissner type, which takes into account the orthotropy of the material, transverse shifts and the possibility of calculating structures of various shapes (double-curved shallow shells, cylindrical and conical panels, etc.). The model is written

in the form of a functional of the total potential energy of the shell deformation. The Ritz method is applied to the model to reduce the variational problem of the minimum of the functional to the solution of a system of nonlinear algebraic equations. In the process of system formation, it becomes necessary to calculate a large number of integrals. It is proposed, having singled out the repeating ones among them, to write the values to the database, which makes it possible to achieve high performance compared to the usual calculation option. The software implementation is made in Python. Examples of buckling studies of a shallow shell of double curvature are given.

Keywords: shells, buckling, algorithm, integration, Python, hash, speed, nonlinear problem.

Введение

Оболочечные конструкции широко используются практически во всех отраслях промышленности: в судо- и самолетостроении, в гидротехнике, в объектах АЭС, в мостостроении, при возведении самых разнообразных промышленных, сельскохозяйственных и гражданских объектов [1–3], в дорожном и подземном строительстве, в горнодобывающей и перерабатывающей промышленности.

Одной из наиболее важных задач, связанных с обеспечением безопасной работы оболочечных конструкций, является анализ их устойчивости [4–7]. Поэтому нахождение значений критических нагрузок, при которых оболочка резко проваливается, и очагов концентрации напряжений является актуальной задачей.

Потеря устойчивости оболочки связана с возникновением больших деформаций, которые возможно исследовать, учитывая геометрическую нелинейность [8–11]. В результате это приводит к необходимости выполнения ресурсоемких вычислений [12–14], как в отношении решения нелинейных систем уравнений, так и в отношении численного интегрирования.

Целью данной работы является разработка наиболее эффективного по времени расчета алгоритма численного интегрирования применительно к задаче анализа устойчивости оболочечной конструкции.

1. Теория и методы

1.1. Математическая модель

Математическая модель деформирования оболочечной конструкции состоит из трех групп соотношений: геометрических, связывающих деформации и перемещения; физических, связывающих напряжения и деформации; функционала полной потенциальной энергии деформации оболочки.

Деформации в координатной поверхности оболочки выражаются через перемещения U , V , W вдоль осей x , y , z (с учетом геометрической нелинейности) следующим образом:

$$\begin{aligned} \varepsilon_x &= \frac{1}{A} \frac{\partial U}{\partial x} + \frac{1}{AB} V \frac{\partial A}{\partial y} - k_x W + \frac{1}{2} \theta_1^2, \\ \varepsilon_y &= \frac{1}{B} \frac{\partial V}{\partial y} + \frac{1}{AB} U \frac{\partial B}{\partial x} - k_y W + \frac{1}{2} \theta_2^2, \\ \gamma_{xy} &= \frac{1}{A} \frac{\partial V}{\partial x} + \frac{1}{B} V \frac{\partial U}{\partial y} - \frac{1}{AB} U \frac{\partial A}{\partial y} - \frac{1}{AB} \frac{\partial B}{\partial x} V + \theta_1 \theta_2, \end{aligned} \quad (1)$$

$$\begin{aligned} \theta_1 &= -\left(\frac{1}{A} \frac{\partial W}{\partial x} + k_x U\right), & \theta_2 &= -\left(\frac{1}{B} \frac{\partial W}{\partial y} + k_y V\right), \\ k_x &= \frac{1}{R_1}, & k_y &= \frac{1}{R_2}, \end{aligned}$$

где $U = U(x, y)$, $V = V(x, y)$, $W = W(x, y)$ – неизвестные функции перемещений; $\varepsilon_x, \varepsilon_y$ – деформации удлинения вдоль координат x , y срединной поверхности; $\gamma_{xy}, \gamma_{xz}, \gamma_{yz}$ – деформации сдвига в плоскостях xOy, xOz, yOz соответственно. Деформации для слоя, отстоящего от срединного на расстояние z , тогда будут выражаться соотношениями:

$$\varepsilon_x^z = \varepsilon_x + z\chi_1 \quad \varepsilon_y^z = \varepsilon_y + z\chi_2 \quad \gamma_{xy}^z = \gamma_{xy} + 2z\chi_{12}, \quad (2)$$

где функции изменения кривизны χ_1 , χ_2 и кручения χ_{12} принимают вид:

$$\chi_1 = \frac{1}{A} \frac{\partial \Psi_x}{\partial x} + \frac{1}{AB} \frac{\partial A}{\partial y} \Psi_y, \quad \chi_2 = \frac{1}{B} \frac{\partial \Psi_y}{\partial y} + \frac{1}{AB} \frac{\partial B}{\partial x} \Psi_x, \quad (3)$$

$$\chi_{12} = \frac{1}{2} \left(\frac{1}{A} \frac{\partial \Psi_y}{\partial x} + \frac{1}{B} \frac{\partial \Psi_x}{\partial y} - \frac{1}{AB} \left(\frac{\partial A}{\partial y} \Psi_y + \frac{\partial B}{\partial x} \Psi_x \right) \right),$$

где $\Psi_x = \Psi_x(x, y)$, $\Psi_y = \Psi_y(x, y)$ – неизвестные функции углов поворота нормали (таким образом, в математической модели присутствует 5 неизвестных функций).

Усилия N_x, N_y, N_{xy}, N_{yx} , моменты M_x, M_y, M_{xy}, M_{yx} и поперечные силы Q_x, Q_y , приходящиеся на единицу длины сечения и приведенные к координатной поверхности:

$$N_x = \frac{E_1 h}{1 - \mu_{12} \mu_{21}} (\varepsilon_x + \mu_{21} \varepsilon_y), \quad N_y = \frac{E_2 h}{1 - \mu_{12} \mu_{21}} (\varepsilon_y + \mu_{12} \varepsilon_x),$$

$$N_{xy} = N_{yx} = G_{12} h \gamma_{xy}, \quad M_x = \frac{E_1}{1 - \mu_{12} \mu_{21}} \frac{h^3}{12} (\chi_1 + \mu_{21} \chi_2),$$

$$M_y = \frac{E_2}{1 - \mu_{12} \mu_{21}} \frac{h^3}{12} (\chi_2 + \mu_{12} \chi_1), \quad (4)$$

$$M_{xy} = M_{yx} = G_{12} \frac{h^3}{6} \chi_{12}, \quad Q_x = G_{13} k h (\Psi_x - \theta_1),$$

$$Q_y = G_{23} k h (\Psi_y - \theta_2),$$

где E_1, E_2 – модули упругости в направлениях x, y ; G_{12}, G_{13}, G_{23} – модули сдвига в плоскостях xOy, xOz, yOz соответственно; μ_{12}, μ_{21} – коэффициенты Пуассона. В случае изотропного материала необходимо принять $E_1 = E_2 = E, \mu_{12} = \mu_{21} = \mu, G_{12} = G_{13} = G_{23} = G$. Функционал полной потенциальной энергии деформации оболочки, представляющий собой разность потенциальной энергии системы и работы внешних сил, будет иметь вид:

$$E_s = E_p - A, \quad (5)$$

$$E_p = \frac{1}{2} \int_{a_1}^a \int_0^b \left[N_x \varepsilon_x + N_y \varepsilon_y + \frac{1}{2} (N_{xy} + N_{yx}) \gamma_{xy} + M_x \chi_1 + M_y \chi_2 + (M_{xy} + M_{yx}) \chi_{12} + Q_x (\Psi_x - \theta_1) + Q_y (\Psi_y - \theta_2) \right] AB dx dy, \quad (6)$$

$$A = \int_{a_1}^a \int_0^b q W AB dx dy.$$

1.2. Численные методы

Для выполнения расчетов, уравнения равновесия, которые представляют в совокупности систему дифференциальных уравнений в частных производных, можно не находить. Для определения неизвестных функций можно применить к функционалу полной потенциальной энергии деформации метод Ритца.

Метод Ритца позволяет свести вариационную задачу о нахождении минимума функционала к решению системы нелинейных алгебраических уравнений. Согласно этому методу, неизвестные функции $U(x, y)$, $V(x, y)$, $W(x, y)$, $\Psi_x(x, y)$, $\Psi_y(x, y)$, аппроксимируются в виде [15]:

$$U(x, y) = \sum_{k=1}^n \sum_{l=1}^n u_{kl} X_1^k Y_1^l, \quad V(x, y) = \sum_{k=1}^n \sum_{l=1}^n v_{kl}$$

$$\begin{aligned} X_1^k &= \sin \left(2k\pi \frac{x-a_1}{a-a_1} \right), & X_2^k &= \sin \left((2k-1)\pi \frac{x-a_1}{a-a_1} \right), & X_3^k &= \sin \left((2k-1)\pi \frac{x-a_1}{a-a_1} \right), \\ X_4^k &= \cos \left((2k-1)\pi \frac{x-a_1}{a-a_1} \right), & X_5^k &= \sin \left((2k-1)\pi \frac{x-a_1}{a-a_1} \right), & Y_1^l &= \sin \left((2l-1)\pi \frac{y}{b} \right), \\ Y_2^l &= \sin \left(2l\pi \frac{y}{b} \right), & Y_3^l &= \sin \left((2l-1)\pi \frac{y}{b} \right), & Y_4^l &= \sin \left((2l-1)\pi \frac{y}{b} \right), & Y_5^l &= \cos \left((2l-1)\pi \frac{y}{b} \right). \end{aligned} \quad (8)$$

Согласно методу Ритца, аппроксимирующие функции подставляются в функционал и находятся производные по неизвестным параметрам. Полученные выражения приравниваются к нулю. В результате получается система нелинейных алгебраических уравнений [15].

2. Алгоритм и программная реализации

Основные этапы вычислительного алгоритма включают в себя:

- 1) составление функционала полной потенциальной энергии деформации для рассматриваемой задачи;
- 2) поэлементное вычисление интегралов и запись результатов в словари;
- 3) нахождение вектора-градиента и матрицы Гессе;
- 4) выполнение итерационного процесса метода Ньютона;
- 5) построение графиков и сохранение их в файл.

Основная идея предлагаемого подхода заключается в разбиении полученного в ходе подстановки аппроксимации выражения на отдельные слагаемые, каждое из которых является двойным интегралом. Результаты вычисления этих интегралов предлагается сохранять в базе данных – поскольку тригонометрические функции разных аргументов будут повторяться, исчезнет необхо-

$$W(x, y) = \sum_{k=1}^n \sum_{l=1}^n w_{kl} X_3^k Y_3^l \quad (7)$$

$$\Psi_x(x, y) = \sum_{k=1}^n \sum_{l=1}^n \psi_{x_{kl}} X_4^k Y_4^l,$$

$$\Psi_y(x, y) = \sum_{k=1}^n \sum_{l=1}^n \psi_{y_{kl}} X_5^k Y_5^l,$$

где u_{kl} , v_{kl} , w_{kl} , $\psi_{x_{kl}}$, $\psi_{y_{kl}}$ – искомые числовые параметры, $X_1^k - X_5^k$, $Y_1^l - Y_5^l$ – известные аппроксимирующие функции, которые удовлетворяют краевым условиям на контуре оболочки.

Предположим, что конструкция обладает симметрией относительно середины осей x и y . Тогда в качестве аппроксимирующих функций для шарнирно-неподвижного закрепления будем использовать следующие тригонометрические функции:

димось в их повторном вычислении, что дает значительный прирост в производительности ПО. Далее это будет показано на конкретном примере.

Входные параметры конструкции

Рассмотрим пологую оболочку двойкой кривизны (параметры Ляме $A = 1$, $B = 1$, радиусы главных кривизн $R_1 = const$, $R_2 = const$, рис. 1). Линейные размеры вдоль осей координат $a = b = 5.4$ м, толщина $h = 0.01$ м, радиусы кривизны $R_1 = R_2 = 20.25$ м, материал – сталь с модулями упругости $E_1 = E_2 = 2.1 \cdot 10^5$ МПа и коэффициентами Пуассона $\mu_{12} = \mu_{21} = 0.3$.

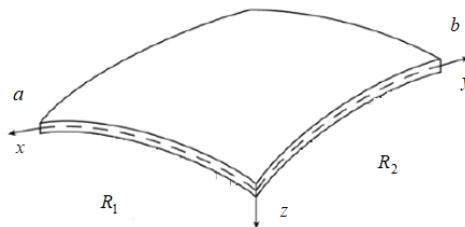


Рис. 1. Пологая оболочка двойкой кривизны

Поэлементное вычисление интегралов и запись результатов в словари. Для примера возьмем минимально возможное число неизвестных (пять), т.е. примем $N = 1$. После подстановки (8) в (7), а (7) в (6), получим выражение:

$$\begin{aligned}
 & \int_{a_1}^a \int_0^b [0.031 u_{11}^4 \sin(1.164 x)^4 \sin(0.582 y)^4 + 0.031 v_{11}^4 \sin(1.164 x)^4 \sin(0.582 y)^4 + \\
 & 0.036 v_{11}^2 u_{11}^2 \sin(1.164 x)^2 \sin(1.164 y)^2 \sin(0.582 y)^2 \sin(0.584 x)^2 + \\
 & 0.679 \psi_{x11}^2 \cos(0.582 y)^2 \cos(0.582 x)^2 + 0.679 \psi_{y11}^2 \cos(0.582 y)^2 \cos(0.582 x)^2 + \\
 & 0.853 w_{11} v_{11}^2 u_{11} \sin(1.164 x) \sin(1.164 y)^2 \sin(0.582 y)^2 \sin(0.582 x)^2 \cos(0.582 x) + \\
 & 0.853 w_{11} v_{11} u_{11}^2 \sin(1.164 x)^2 \sin(1.164 y) \sin(0.582 y)^2 \cos(0.582 y) \sin(0.582 x)^2 + \\
 & 1.357 \psi_{y11} \psi_{x11} \cos(0.582 y)^2 \cos(0.582 x)^2 + \\
 & + 1.455 w_{11} u_{11}^3 \sin(1.164 x)^3 \sin(0.582 y)^4 \cos(0.582 x) + \\
 & 1.455 w_{11} v_{11}^3 \sin(1.164 y)^3 \cos(0.582 y) \sin(0.582 x)^4 + \\
 & + 1005.236 u_{11}^2 \sin(1.164 x)^2 \cos(0.582 y)^2 + \dots [58 \text{ слагаемых }] \dots - \\
 & - 76.612 w_{11}^2 u_{11} \sin(1.164 x) \sin(0.582 y)^3 \sin(0.582 x) \cos(0.582 x) - \\
 & - 76.612 w_{11}^2 v_{11} \sin(1.164 y) \sin(0.582 y) \cos(0.582 y) \sin(0.582 x)^3] dy dx.
 \end{aligned} \tag{9}$$

В общей сложности, под знаком интегралов получилось 71 слагаемое. При повышении точности расчетов, их количество увеличивается на порядки (табл. 1).

Таблица 1

**Количество слагаемых
в зависимости от числа N**

| $n = \sqrt{N}$ | N | Количество элементов |
|----------------|-----|----------------------|
| 1 | 1 | 71 |
| 2 | 4 | 3561 |
| 3 | 9 | 56874 |
| 4 | 16 | 467236 |
| 5 | 25 | 2524375 |

При детальном рассмотрении выражения (9) видно, что разные сочетания аппроксимирующих функций и их производных повторяются,

притом каждый раз на их вычисление затрачивается машинное время. В предлагаемом алгоритме расчета заложено отслеживание одинаковых подынтегральных выражений.

Для реализации алгоритма был выбран язык Python. Кроме того, учитывались правила вычисления интегралов, которые, в свою очередь, вытекают непосредственно из правил вычисления производных:

$$\int k f(x) dx = k \int f(x) dx,$$

$$\int f(x) + g(x) dx = \int f(x) dx + \int g(x) dx,$$

$$\int f(x) - g(x) dx = \int f(x) dx - \int g(x) dx.$$

Применяя данные правила, выражение можно привести к виду:

$$\begin{aligned}
 & 0.031 u_{11}^4 \int_{a_1}^a \sin(1.164 x)^4 dx \int_0^b \sin(0.582 y)^4 dy + 0.031 v_{11}^4 \int_{a_1}^a \sin(1.164 x)^4 dx \int_0^b \sin(0.582 y)^4 dy + \\
 & + 0.036 v_{11}^2 u_{11}^2 \int_{a_1}^a \sin(1.164 x)^2 \sin(0.584 x)^2 dx \int_0^b \sin(1.164 y)^2 \sin(0.582 y)^2 dy + \\
 & 0.679 \psi_{x11}^2 \int_{a_1}^a \cos(0.582 x)^2 dx \int_0^b \cos(0.582 y)^2 dy + 0.679 \psi_{y11}^2 \int_{a_1}^a \cos(0.582 x)^2 dx \int_0^b \cos(0.582 y)^2 dy + \\
 & + 0.853 w_{11} v_{11}^2 u_{11} \int_{a_1}^a \sin(1.164 x) \sin(0.582 x)^2 \cos(0.582 x) dx \int_0^b \sin(1.164 y)^2 \sin(0.582 y)^2 dy + \\
 & + 0.853 w_{11} v_{11} u_{11}^2 \int_{a_1}^a \sin(1.164 x)^2 \sin(0.582 x)^2 dx \int_0^b \sin(1.164 y) \sin(0.582 y)^2 \cos(0.582 y) dy + \\
 & 1.357 \psi_{y11} \psi_{x11} \int_{a_1}^a \cos(0.582 x)^2 dx \int_0^b \cos(0.582 y)^2 dy + \\
 & + 1.455 w_{11} u_{11}^3 \int_{a_1}^a \sin(1.164 x)^3 \cos(0.582 x) dx \int_0^b \sin(0.582 y)^4 dy + \\
 & + 1.455 w_{11} v_{11}^3 \int_{a_1}^a \sin(0.582 x)^4 dx \int_0^b \sin(1.164 y)^3 \cos(0.582 y) dy + \\
 & 1005.236 u_{11}^2 \int_{a_1}^a \sin(1.164 x)^2 dx \int_0^b \cos(0.582 y)^2 dy + \dots [58 \text{ слагаемых }] \dots -
 \end{aligned}$$

$$- 76.612w_{11}^2 u_{11} \int_{a_1}^a \sin(1.164x)\sin(0.582x)\cos(0.582x)dx \int_0^b \sin(0.582y)^3 dy -$$

$$- 76.612w_{11}^2 v_{11} \int_{a_1}^a \sin(0.582x)^3 dx \int_0^b \sin(1.164y)\sin(0.582y)\cos(0.582y)dy.$$

При обработке подынтегральных выражений, программа определяет одинаковые. Их количество представлено в таблице 2.

При $n = 1$ надо вычислить 71 интеграл, но программа рассчитает лишь 23 и запишет их в

словарь (dict) в виде ключ/значение (key/value), где ключом выступит сам интеграл, а значением ключа будет результат его вычисления.

Таблица 2

Количество повторений подынтегральных выражений

| Подынтегральное выражение | Кол-во повторений | Подынтегральное выражение | Кол-во повторений |
|--|-------------------|--------------------------------|-------------------|
| $\sin(1.164x)\sin(0.582x)\cos(0.582x)$ | 5 | $\sin(1.164x)^2\sin(0.582x)^2$ | 3 |
| $\sin(0.582x)^2\sin(1.164x)\cos(0.582x)$ | 3 | $\sin(1.164x)^3\cos(0.582x)$ | 1 |
| $\sin(1.164x)\cos(1.164x)\cos(0.582x)$ | 1 | $\sin(1.164x)^2\cos(1.164x)$ | 1 |
| $\cos(0.582x)^3\sin(1.164x)$ | 1 | $\cos(0.582x)^2$ | 7 |
| $\sin(1.164x)^2\cos(0.582x)^2$ | 1 | $\sin(0.582x)^3$ | 6 |
| $\sin(1.164x)\cos(0.582x)$ | 3 | $\sin(0.582x)^2$ | 12 |
| $\cos(0.582x)^2\sin(0.582x)$ | 4 | $\sin(0.582x)^4$ | 5 |
| $\sin(1.164x)^2\sin(0.582x)$ | 4 | $\cos(0.582x)^4$ | 1 |
| $\cos(1.164x)\sin(0.582x)$ | 2 | $\cos(1.164x)^2$ | 1 |
| $\sin(0.582x)^2\cos(1.164x)$ | 3 | $\sin(1.164x)^2$ | 2 |
| $\sin(0.582x)^2\cos(0.582x)^2$ | 3 | $\sin(1.164x)^4$ | 1 |
| $\cos(0.582x)^2\cos(1.164x)$ | 1 | | |

Примечание: аналогично для у.

Порядок элементов в словаре не имеет значения, так как поиск происходит не методом перебора (смещения), а с помощью связанного с элементом уникального ключа (хэш). Словари в Python реализуются с помощью хэш-таблиц, представляющие собой массивы, индексы

которых вычисляются с помощью хэш-функций. Цель хэш-функции – равномерно распределить ключи в массиве. Хорошая хэш-функция минимизирует количество коллизий, то есть вероятность того, что разные ключи будут иметь один хэш [16, 17]. Пример записи словаря:

$$\text{Dict}_x = \left\{ \begin{aligned} &\sin(0.582x)^2 : 2.70000228 \ 0, \cos(0.582x)^2 : 2.69999771 \ 94, \\ &\sin(1.164x)^2 : 2.70000228 \ 0, \cos(1.164x)^2 : 2.69999771 \ 9, \\ &\sin(1.164x)^4 : 2.02500171 \ 04, \sin(0.582x)^4 : 2.02500171 \ 04, \\ &\cos(0.582x)^4 : 2.02499714 \ 9, \sin(0.582x)^3 : 2.29183311 \ 6, \\ &\sin(1.164x)^2\cos(1.164x) : -5.1020901 \ 199e \ -17, \\ &\cos(0.582x)^2\sin(0.582x) : 1.14591655 \ 81, \sin(1.164x)\cos(0.582x) : 2.29183311 \ 63, \\ &\cos(1.164x)\sin(0.582x) : -1.1459165 \ 581, \sin(1.164x)^2\sin(0.582x) : 1.83346649 \ 3, \\ &\sin(1.164x)^3\cos(0.582x) : 1.57154270 \ 83, \cos(0.582x)^2\cos(1.164x) : 1.34999657 \ 9, \\ &\sin(1.164x)^2\cos(0.582x)^2 : 1.35000114 \ 0, \cos(0.582x)^3\sin(1.164x) : 1.37509986 \ 97, \\ &\sin(0.582x)^2\cos(0.582x)^2 : 0.67500057 \ 01, \sin(0.582x)^2\cos(1.164x) : -1.3500011 \ 40, \\ &\sin(1.164x)^2\sin(0.582x)^2 : 1.35000114 \ , \sin(1.164x)\cos(1.164x)\cos(0.582x) : 0.45836662 \ 32, \\ &\sin(1.164x)\sin(0.582x)\cos(0.582x) : 1.35000114 \ 02, \\ &\sin(0.582x)^2\sin(1.164x)\cos(0.582x) : 0.91673324 \ 65 \} \end{aligned} \right.$$

Таким образом, при обнаружении повторяющихся интегралов, программа будет автомати-

чески заменять их на значение, соответствующее ключу в словаре, и выражение примет вид:



$$E_{sf} = 15.3238252 \cdot 7068 \psi_{y_{11}} \psi_{x_{11}} + 756.305567 \cdot 2161 u_{11} \psi_{y_{11}} + 756.305567 \cdot 2161 v_{11} \psi_{y_{11}} +$$

$$+ 16356.9230 \cdot 7698 v_{11} u_{11} - 11.4507219 \cdot 2272 v_{11} u_{11}^2 - 11.4507219 \cdot 2272 v_{11}^2 u_{11} +$$

$$+ 0.03297814 \cdot 3009 v_{11}^2 u_{11}^2 + 10496.8375 \cdot 8749 w_{11} \psi_{y_{11}} + 10496.8375 \cdot 8749 w_{11} \psi_{y_{11}} +$$

$$+ 5240.00442 \cdot 6065 w_{11} u_{11} + 826.809547 \cdot 9374 w_{11} u_{11}^2 + 2.31538204 \cdot 8877 w_{11} u_{11}^3 +$$

$$+ 5240.00442 \cdot 6065 w_{11} v_{11} + 826.809547 \cdot 9374 w_{11} v_{11}^2 + 2.31538204 \cdot 8877 w_{11} v_{11}^3 +$$

$$+ 11541.4806 \cdot 4747 w_{11}^2 u_{11} + 37.4366998 \cdot 2147 w_{11}^2 u_{11}^2 + 11541.4806 \cdot 4747 w_{11}^2 v_{11} +$$

$$+ 37.4366998 \cdot 2147 w_{11}^2 v_{11}^2 + 317.801618 \cdot 1330 w_{11}^3 u_{11} + 317.801618 \cdot 1330 w_{11}^3 v_{11} -$$

$$- 578.257591 \cdot 1920 w_{11} v_{11} u_{11} + 0.52764984 \cdot 2471 w_{11} v_{11} u_{11}^2 + 0.52764984 \cdot 2471 w_{11} v_{11}^2 u_{11} +$$

$$+ 8.44239034 \cdot 856 w_{11}^2 v_{11} u_{11} + 9041.14378 \cdot 5527 \psi_{x_{11}}^2 + 9041.14378 \cdot 5527 \psi_{y_{11}}^2 +$$

$$+ 106177.957 \cdot 0421 u_{11}^2 - 3.44553938 \cdot 6687e - 15 u_{11}^3 + 0.06331128 \cdot 137574 u_{11}^4 +$$

$$+ 106177.957 \cdot 0421 v_{11}^2 - 3.44553938 \cdot 6687e - 15 v_{11}^3 + 0.06331128 \cdot 137574 v_{11}^4 +$$

$$+ 6586.80821 \cdot 7635 w_{11}^2 - 1185.18518 \cdot 5178 w_{11}^3 + 2597.93445 \cdot 7778 w_{11}^4.$$

| | | | | | | | | | | | | | | | | | |
|----|------|------|------|------|------|------|------|------|----|------|------|------|------|------|------|------|------|
| 1 | 8002 | 7d71 | 0028 | 6373 | 796d | 7079 | 2e63 | 6f72 | 19 | 8171 | 1228 | 580b | 0000 | 0063 | 6f6d | 6d75 | 7461 |
| 2 | 652e | 706f | 7765 | 720a | 506f | 770a | 7101 | 6373 | 20 | 7469 | 7665 | 7113 | 8858 | 0400 | 0000 | 7a65 | 726f |
| 3 | 796d | 7079 | 2e66 | 756e | 6374 | 696f | 6e73 | 2e65 | 21 | 7114 | 4e58 | 0800 | 0000 | 706f | 7369 | 7469 | 7665 |
| 4 | 6c65 | 6d65 | 6e74 | 6172 | 792e | 7472 | 6967 | 6f6e | 22 | 7115 | 4e58 | 0600 | 0000 | 6669 | 6e69 | 7465 | 7116 |
| 5 | 6f6d | 6574 | 7269 | 630a | 7369 | 6e0a | 7102 | 6373 | 23 | 4e58 | 0800 | 0000 | 6e65 | 6761 | 7469 | 7665 | 7117 |
| 6 | 796d | 7079 | 2e63 | 6f72 | 652e | 6d75 | 6c0a | 4d75 | 24 | 4e58 | 1100 | 0000 | 6578 | 7465 | 6e64 | 6564 | 5f6e |
| 7 | 6c0a | 7103 | 6373 | 796d | 7079 | 2e63 | 6f72 | 652e | 25 | 6567 | 6174 | 6976 | 6571 | 184e | 5811 | 0000 | 0065 |
| 8 | 6e75 | 6d62 | 6572 | 730a | 466c | 6f61 | 740a | 7104 | 26 | 7874 | 656e | 6465 | 645f | 706f | 7369 | 7469 | 7665 |
| 9 | 284b | 0058 | 0e00 | 0000 | 3134 | 3162 | 3265 | 3539 | 27 | 7119 | 4e58 | 1400 | 0000 | 6578 | 7465 | 6e64 | 6564 |
| 10 | 6166 | 3965 | 6266 | 7105 | 4ac9 | ffff | ff4b | 3574 | 28 | 5f6e | 6f6e | 706f | 7369 | 7469 | 7665 | 711a | 4e58 |
| 11 | 7106 | 8571 | 0752 | 7108 | 7d71 | 0958 | 0500 | 0000 | 29 | 1400 | 0000 | 6578 | 7465 | 6e64 | 6564 | 5f6e | 6f6e |
| 12 | 5f70 | 7265 | 6371 | 0a4b | 3573 | 6263 | 7379 | 6d70 | 30 | 6e65 | 6761 | 7469 | 7665 | 711b | 4e58 | 0800 | 0000 |
| 13 | 792e | 636f | 7265 | 2e73 | 796d | 626f | 6c0a | 5379 | 31 | 696e | 6669 | 6e69 | 7465 | 711c | 4e58 | 0d00 | 0000 |
| 14 | 6d62 | 6f6c | 0a71 | 0b58 | 0100 | 0000 | 7871 | 0c85 | 32 | 616e | 7469 | 6865 | 726d | 6974 | 6961 | 6e71 | 1d4e |
| 15 | 710d | 5271 | 0e7d | 710f | 580c | 0000 | 005f | 6173 | 33 | 5809 | 0000 | 0068 | 6572 | 6d69 | 7469 | 616e | 711e |
| 16 | 7375 | 6d70 | 7469 | 6f6e | 7371 | 1063 | 7379 | 6d70 | 34 | 4e58 | 0700 | 0000 | 636f | 6d70 | 6c65 | 7871 | 1f4e |
| 17 | 792e | 636f | 7265 | 2e61 | 7373 | 756d | 7074 | 696f | 35 | 5809 | 0000 | 0069 | 6d61 | 6769 | 6e61 | 7279 | 7120 |
| 18 | 6e73 | 0a53 | 7464 | 4661 | 6374 | 4b42 | 0a71 | 1129 | 36 | 4e58 | 0d00 | 0000 | 6578 | 7465 | 6e64 | 6564 | 5f72 |

Рис. 2. Пример записи в файл с применением модуля Pickling

```

1 sin(0.1570795*x)**2:10.000008446645785
2 sin(0.1570795*x)**4:7.50000633498434
3 cos(0.1570795*x)**2:9.999991553354215
4 cos(0.314159*x)**2:9.999991553354214
5 sin(0.1570795*x)*cos(0.1570795*x)**2:4.244135400629273
6 cos(0.1570795*x)**2*cos(0.314159*x):4.999987330031323
7 sin(0.314159*x)*cos(0.1570795*x):8.488270801258546
8 cos(0.1570795*x)**4:7.499989441692769
9 sin(0.1570795*x)**2*cos(0.314159*x):-5.000004223322891
10 sin(0.1570795*x)*cos(0.314159*x):-4.244135400674099
11 sin(0.1570795*x)**2*cos(0.1570795*x)**2:2.500002116661446
12 sin(0.1570795*x)*sin(0.314159*x)*cos(0.1570795*x):5.000004223322892
13 sin(0.1570795*x)**3:8.488270801303374
14 sin(0.314159*x)**2:10.000008446645785
15 cos(0.581775925925926*x)**2:2.6999977194056384
16 sin(0.581775925925926*x)**3:2.291833116351911
17 cos(0.581775925925926*x)**4:2.024997149257048
18 sin(1.16355185185185*x)*cos(0.581775925925926*x)**3:1.3750998697990493
19 sin(1.16355185185185*x)**2*cos(0.581775925925926*x)**2:1.350001140297186
20 sin(0.581775925925926*x)**2:2.700002280594362
21 sin(0.581775925925926*x)*cos(0.581775925925926*x)**2:1.1459165581699038
22 cos(0.581775925925926*x)**2*cos(1.16355185185185*x):1.349996579108452
23 sin(0.581775925925926*x)**2*sin(1.16355185185185*x)**2:1.35000114029718
24 sin(1.16355185185185*x)**3*cos(0.581775925925926*x):1.5715427083556006
25 sin(0.581775925925926*x)**2*cos(0.581775925925926*x)**2:0.6750005701485904
26 sin(0.581775925925926*x)*sin(1.16355185185185*x)**2:1.833466493081529
27 sin(0.581775925925926*x)*sin(1.16355185185185*x)*cos(0.581775925925926*x):1.3500011402971823
28 sin(0.581775925925926*x)*cos(1.16355185185185*x):-1.1459165581820123
29 sin(1.16355185185185*x)*cos(0.581775925925926*x)*cos(1.16355185185185*x):0.4583666232582795
30 cos(1.16355185185185*x)**2:2.699997719405634
31 sin(0.581775925925926*x)**2*sin(1.16355185185185*x)*cos(0.581775925925926*x):0.9167332465407643
32 sin(0.581775925925926*x)**2*cos(1.16355185185185*x):-1.350001140297184
33 sin(1.16355185185185*x)*cos(0.581775925925926*x):2.2918331163398142
34 sin(1.16355185185185*x)**2:2.700002280594367
35 sin(0.581775925925926*x)**4:2.0250017104457716
36 sin(1.16355185185185*x)**2*cos(1.16355185185185*x):-5.1020901199431716e-17
37 sin(1.16355185185185*x)**4:2.0250017104457747
38 cos(0.1570795*x)*cos(0.314159*x)*cos(0.4712385*x):4.999987330031322
39 sin(0.1570795*x)*sin(0.4712385*x)*cos(0.1570795*x)*cos(0.4712385*x):-2.5153494001663703e-16
40 sin(0.1570795*x)*sin(0.4712385*x):-9.020562075079397e-16
41 sin(0.1570795*x)**2*sin(0.4712385*x)**2:5.000004223322892
42 sin(0.4712385*x)**2:10.000008446645783

```

Рис. 3. Пример записи в текстовый файл

Для ускорения данного процесса, расчет интегралов по переменной x и y происходит параллельно. Словарь также записывается в файл решенных интегралов, что в дальнейшем позволит подгружать этот файл в проект и производить многопоточную замену. При отсутствии интеграла в файле, он будет автоматически добавлен в него.

Для записи словаря в файл используется модуль `pickle`. Модуль `pickle` реализует алгоритм сериализации и десериализации объектов Python. «Pickling» – процесс превращения объекта Python в поток байтов, а «unpickling» – обратная операция, в результате которой поток байтов преобразуется обратно в Python-объект. Так как поток байтов легко можно записать в файл, модуль `pickle` широко применяется для сохранения и загрузки сложных объектов в Python. Пример того, как словарь храниться в файле, показан на рисунке 2. Параллельно словарь записывается в текстовый файл для удобства прочтения (рис. 3).

Алгоритм можно представить в виде блок-схемы (рис. 4).

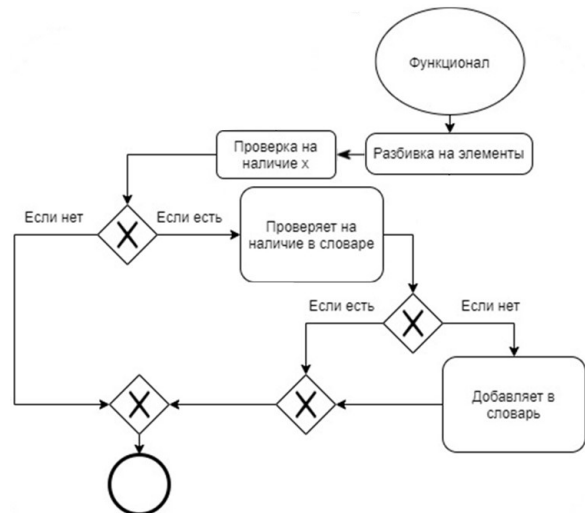


Рис. 4. Блок-схема алгоритма

На рисунке 5 показано сравнение времени выполнения расчета для рассматриваемой задачи:

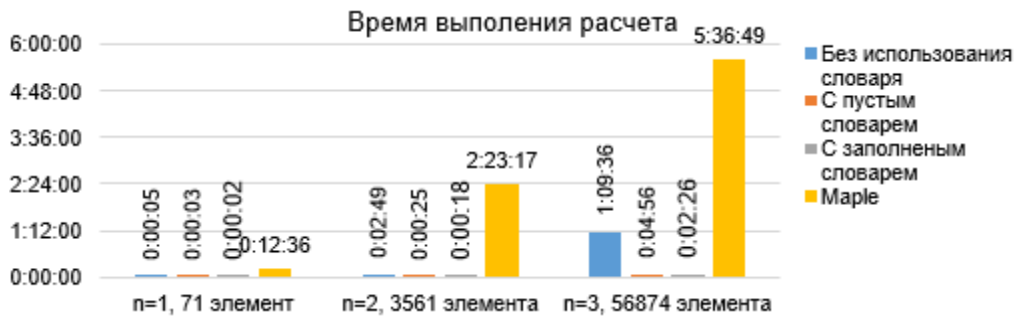


Рис. 5. Время выполнения расчета

3. Расчеты

Результатом исследования оболочечной конструкции на устойчивость является график зависимости «нагрузка – прогиб», где критической нагрузке соответствует момент разрыва кривой (переход на новое равновесное

состояние). Для указанной ранее полой оболочки двойкой кривизны были получены следующие данные: при $n = 1$, $n = 2$ (рис. 6), $n = 3$ (рис. 7). На рис. 8 показано их сравнение друг с другом. Значения критических нагрузок потери устойчивости показаны в таблице 3.

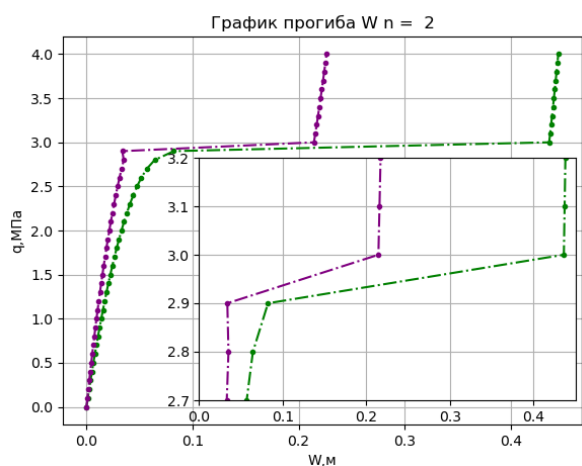
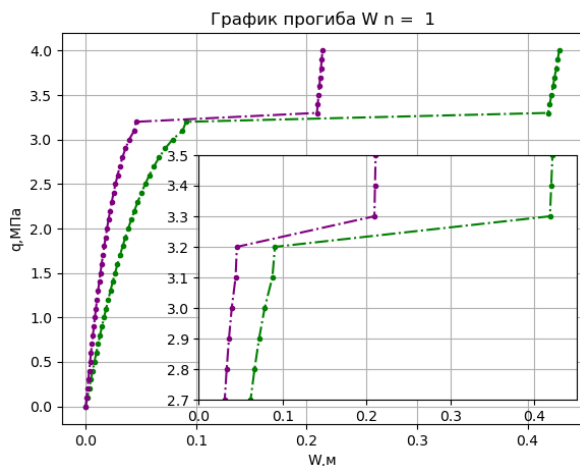


Рис. 6. Графики «нагрузка – прогиб» при $n = 1$ и $n = 2$

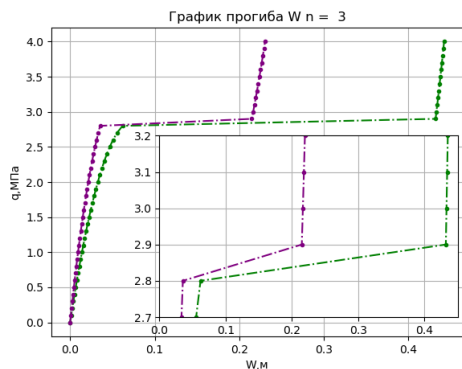


Рис. 7. График «нагрузка – прогиб» при $n = 3$

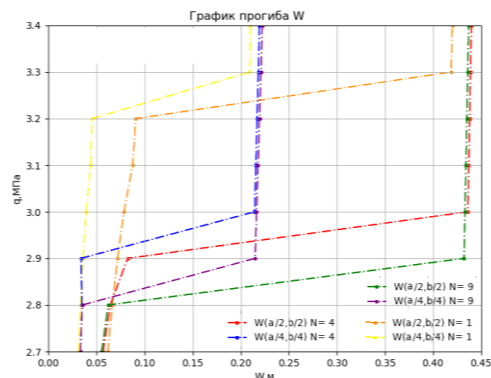


Рис. 8. Сравнение кривых при разных n

Таблица 3
Значения критических нагрузок потери устойчивости

| $n = \sqrt{N}$ | q_{cr} , МПа |
|----------------|----------------|
| 1 | 3.19 |
| 2 | 2.86 |
| 3 | 2.86 |

Заключение

Снижение времени на обработку информации более чем в 100 раз является экономическим обоснованием для разработки эффективных алгорит-

мов. В данной работе было предложено решение по снижению временных затрат при исследовании тонкостенных оболочечных конструкций.

Предложенный алгоритм на основе применения словаря вычисленных интегралов, хэш-функций и базы данных, реализованный в Python, может быть использован в задачах расчета тонкостенных оболочечных конструкций и дальнейших исследованиях.

Список литературы

1. Raeesi A. Failure analysis of steel silos subject to wind load / A. Raeesi, H. Ghaednia, J. Zohrehheydariha, S. Das // Engineering Failure Analysis. – 2017. – Vol. 79. – Pp. 749–761. – DOI 10.1016/j.engfailanal.2017.04.031.
2. Krivoshapko S. N. Shell structures and shells at the beginning of the 21st century / S. N. Krivoshapko // Structural Mechanics of Engineering Constructions and Buildings. – 2021. – Vol. 17, № 6. – Pp. 553–561. – DOI 10.22363/1815-5235-2021-17-6-553-561.
3. Селиванов А. В. Результаты экспериментальных исследований железобетонной плиты-оболочки / А. В. Селиванов, Ф. Ф. Ререр // Вестник Сибирского государственного автомобильно-дорожного университета. – 2019. – Т. 16, № 3(67). – С. 378–392.
4. Панин А. Н. Устойчивость пологих железобетонных ребристых оболочек / А. Н. Панин // Вестник гражданских инженеров. – 2012. – № 2(31). – С. 101–106.
5. Gavryushin S. S. Method of change of the subspace of control parameters and its application to problems of synthesis of nonlinearly deformable axisymmetric thin-walled structures / S. S. Gavryushin, A. S. Nikolaeva // Mechanics of Solids. – 2016. – Vol. 51, № 3. – С. 339–348. – DOI 10.3103/S0025654416030110.
6. Stupishin L. Numerical research orthotropic geometrically nonlinear shell stability using the mixed finite element method / L. Stupishin, K. Nikitin, A. Kolesnikov // IOP Conference Series: Materials Science and Engineering. – 2017. – Vol. 201. – Pp. 012019. – DOI 10.1088/1757-899X/201/1/012019.
7. Алаева Д. Р. Методика исследования докритического и закритического деформирования оболочек при шарнирно-подвижном закреплении контура / Д. Р. Алаева, А. А. Семенов, В. В. Карпов // Инженерно-строительный вестник Прикаспия. – 2020. – № 2 (32). – С. 49–53.
8. Stability analysis of acrylic glass pressure cylindrical shell considering creep effect / S. Xu и др. // Thin-Walled Structures. – 2022. – Vol. 181. – Pp. 110033. – DOI 10.1016/j.tws.2022.110033.
9. Wang J. Structural similitude for the geometric nonlinear buckling of stiffened orthotropic shallow spherical shells by energy approach / J. Wang, Z. L. Li, W. Yu // Thin-Walled Structures. – 2019. – Vol. 138. – Pp. 430–457. – DOI 10.1016/j.tws.2018.02.006.
10. Овчинников И. И. Коррозионно-механическое поведение оболочек вращения в силовом и температурном поле / И. И. Овчинников, В. С. Мавзовин // Инженерно-строительный вестник Прикаспия. – 2020. – № 1 (31). – С. 38–43.
11. Бадриев И. Б. Осесимметричные задачи о геометрически нелинейном деформировании и устойчивости трехслойной цилиндрической оболочки с контурными подкрепляющими стержнями / И. Б. Бадриев, М. В. Макаров, В. Н. Паймушин, С. А. Холмогоров // Ученые записки Казанского университета. Серия: Физико-математические науки. – 2017. – Т. 159, № 4. – С. 395–428.
12. Згода Ю. Н. Высокопроизводительный расчет тонкостенных оболочечных конструкций с использованием параллельных вычислений и графических ускорителей / Ю. Н. Згода, А. А. Семенов // Вычислительные технологии. – 2022. – № 6. – С. 45–57. – DOI 10.25743/ICT.2022.27.6.005.
13. Kumar Y. The Rayleigh–Ritz method for linear dynamic, static and buckling behavior of beams, shells and plates: A literature review / Y. Kumar // Journal of Vibration and Control. – 2017. – Vol. 24. The Rayleigh–Ritz method for linear dynamic, static and buckling behavior of beams, shells and plates, № 7. – Pp. 1205–1227. – DOI 10.1177/1077546317694724.
14. Kalitkin N. N. Solving the Cauchy problem with guaranteed accuracy for stiff systems by the arc length method / N. N. Kalitkin, I. P. Poshivaylo // Mathematical Models and Computer Simulations. – 2015. – Vol. 7, № 1. – Pp. 24–35. – DOI 10.1134/S2070048215010044.
15. Карпов В. В. Прочность и устойчивость подкрепленных оболочек вращения : в 2 ч. / В. В. Карпов. – Ч. 1. Модели и алгоритмы исследования прочности и устойчивости подкрепленных оболочек вращения. – Москва : Физматлит, 2010. – 288 с.
16. Стивенс Р. Алгоритмы. Теория и практическое применение / Р. Стивенс. – Москва : Э, 2016. – 544 с.
17. Любанович Б. Простой Python. Современный стиль программирования / Б. Любанович. – Санкт-Петербург : Питер, 2016. – 480 с.

© В. Ю. Шаранин, А. А. Семенов

Ссылка для цитирования:

Шаранин В. Ю., Семенов А. А. Алгоритм быстрого численного интегрирования в задачах устойчивости оболочечных конструкций // Инженерно-строительный вестник Прикаспия : научно-технический журнал / Астраханский государственный архитектурно-строительный университет. Астрахань : ГАОУ АО ВО «АГАСУ», 2023. № 2 (44). С. 133–140.